

201
— Министерство высшего и среднего специального образования СССР
Челябинский политехнический институт имени Ленинского комсомола

На правах рукописи

БАЛАПАНОВ Малик Кошибаевич

УДК 669.162,263

РЕОЛОГИЧЕСКИЕ И ПОВЕРХНОСТНЫЕ СВОЙСТВА РАССЛАВОВ
ДОМЕННОЙ ПЛАВКИ ГЛИНОЗЕМСОДЕРЖАЩИХ ЖЕЛЕЗНЫХ РУД

Специальность 05.16.02 - "Металлургия черных металлов"

Автореферат
диссертации на соискание ученой степени
кандидата технических наук

Челябинск-1985

Работа выполнена в Химико-металлургическом институте
Центрально-Казахстанского отделения АН Казахской ССР, на кафедре
физики № 1 Челябинского политехнического института им. Ленинского
комсомола.

Научный руководитель - доктор химических наук, профессор
ВЯТКИН Г.П.

Официальные оппоненты: доктор технических наук,
старший научный сотрудник
ЖИЛО Н.Л.;
кандидат технических наук
ИПАТОВ Б.В.

Ведущее предприятие - Орско-Халиловский металлургический
комбинат.

Защита диссертации состоится 8 января 1986 г., в 14 ч,
на заседании специализированного совета К053.13.03 при Челябинском
политехническом институте им. Ленинского комсомола (аудитория 244).

Отзывы в двух экземплярах, заверенных гербовой печатью, про-
сим направлять по адресу: 454044, г. Челябинск-44, пр.им.В.И.Ле-
нина, 76, ЧПИ им. Ленинского комсомола, ученому секретарю специа-
лизированного совета, тел. 39-91-23.

С диссертацией можно ознакомиться в библиотеке ЧПИ им.
Ленинского комсомола.

Автореферат разослан " " 1985 г.

Ученый секретарь специализированного
совета К053.13.03,
кандидат технических наук, доцент  О.К.ТОКОВОЙ

ОБЩАЯ ХАРАКТЕРИСТИКА РАБОТЫ

Актуальность темы. Основными направлениями развития народного хозяйства СССР в XI пятилетке предусмотрено интенсивное развитие металлургической промышленности Казахстана и ее рудной базы. Повышение темпов роста черной металлургии Республики вызывает необходимость обеспечения ее качественным железорудным сырьем. В то же время уменьшение запасов богатых руд приводит к вовлечению в эксплуатацию более бедных и труднообогатимых бурых железняков (Лисаковские и Аятские), содержащих помимо железа значительные количества фосфора, оксида алюминия, ванадия и др. Запасы этих руд составляют десятки миллиардов тонн.

Работа доменных печей с использованием такого сырья усложнена ухудшением жидкотекучести шлаков с ростом концентрации оксида алюминия. Опыт работы Орсково-Халиловского металлургического комбината (ОХМК) на бурожелезняковых рудах Ново-Киевского месторождения показал невозможность выплавки передельного чугуна в таких условиях. Опытная доменная плавка (1972 г.) Лисаковских обжигмагнитных концентратов (ЛОМК) Лисаковского горно-обогатительного комбината (ЛГОК) на Аланаевском металлургическом комбинате (АМК) также выявила затруднения в отработке продуктов плавки при снижении содержания кремния в чугуне менее 1% и ухудшение показателей работы доменной печи.

Высокая эффективность доменной плавки во многом зависит от газопроницаемости зоны образования чугуна и шлака и фильтрации их в горне печи. Практика показывает, что, именно, на этот участок приходится до 75% общей потери напора газа. Следовательно, освоение концентратов ЛГОК требует знания условий лучшего разделения металла и шлака под действием поверхностных сил, вязкости и межфазного напряжения системы чугун-шлак, оказывающих существенное влияние на газодинамику зоны плавления и тем самым намечить пути повышения производительности печей при постоянно увеличивающейся доле ЛОМК в доменной шихте.

Учитывая огромные запасы лисаковских руд и высокую проектную мощность ЛГОК по схеме обжигмагнитного обогащения, а также возможность вовлечения в производство руд аналогичных месторождений, следует считать, что изучение физико-химических свойств шлака и металла открывает перспективы для достижения высоких технико-экономических показателей доменной плавки различных типов концентратов из бурых железняков.

Целью работы является комплексное исследование свойств шлака и металла для выплавки передельного чугуна из железных руд, содержащих тугоплавкую пустую породу.

Научная новизна. На основе термодинамически-диаграммного анализа определены элементарные политопы системы $MgO - CaO - Al_2O_3 - SiO_2$, отвечающие рациональным составам шлаков производства чугуна из глиноземсодержащих железных руд. По результатам экспериментальных исследований реологических свойств натуральных шлаков разработаны требования к составам конечных шлаков доменной плавки смесей лисаковского гравитационно-магнитного концентрата (ЛГМК) и ЛОМК. С использованием планирования эксперимента впервые разработана математическая модель межфазного напряжения фосфористых чугунов на границе с глиноземистыми шлаками. Выведена математическая зависимость, характеризующая изменение плотности чугуна при 1450-1500°C от содержания в нем фосфора. Выявлен механизм процесса разделения металлических и оксидных расплавов доменной плавки. Установлены адсорбция фосфора на поверхностный слой железоуглеродистого расплава и тип соединений железо-фосфор в структуре поверхностного слоя, определена зависимость межфазного перехода кремния из шлака в металл от содержания фосфора в чугунке.

Практическая ценность. Для условий работы доменных печей Карагандинского металлургического комбината (КарМК) рекомендованы значения основности и содержания оксида магния в шлаках при совместном использовании в доменной шихте ЛГМК и ЛОМК с целью достижения высоких технико-экономических показателей плавки. Новый способ доменной плавки глиноземсодержащих железных руд и установка для производственного контроля качества железорудных материалов защищены авторскими свидетельствами СССР.

Реализация результатов работы в промышленности. Способ выплавки передельного фосфористого чугуна на шлаках с повышенным содержанием оксида алюминия и установка для исследования процесса плавления железорудного сырья внедрены на КарМК с экономической эффективностью за 1981-1984 годы 414тыс.руб. Результаты работы экспортировались (1984г.) в павильоне "Металлургия" ВДНХ СССР и удостоены бронзовой медали.

Апробация работы. Материалы диссертации доложены и обсуждены: на научно-практической конференции "Комплексное использование железорудного, полиметаллического и химического сырья Центрально-го Казахстана" (Караганда, 1977г.), на третьей и пятой Всесоюзных

конференциях по строению и свойствам металлических и шлаковых расплавов (Свердловск, 1978 и 1983 гг.), на научно-технических конференциях молодых специалистов КарМК (Темиртау, 1979 и 1980 гг.), на региональных научно-технических конференциях "Проблемы обогащения и комплексной переработки фосфористых лисаковских руд" (Темиртау, 1979 и 1982 гг.), на пятой Всесоюзной конференции "Физико-химические исследования фосфатов" (Ленинград, 1981 г.), на Всесоюзной научно-технической конференции "Теория и практика современного доменного производства" (Днепропетровск, 1983 г.).

Публикация. По теме диссертации опубликовано 13 научных статей и докладов, получено 2 авторских свидетельства СССР.

Объем работы. Диссертационная работа состоит из введен. з., пяти глав, заключения и содержит 115 страниц машинописного текста, 29 рисунков, 34 таблицы и 6 приложений, список использованной отечественной и зарубежной литературы из 203 наименований.

I. СОСТОЯНИЕ ВОПРОСА И ПОСТАНОВКА ЗАДАЧИ ИССЛЕДОВАНИЯ

При обогащении лисаковских руд получаются железорудные концентраты с повышенным содержанием оксида алюминия. Переработка этих концентратов в доменных печах сопровождается образованием тугоплавких шлаков, требующих большого подвода тепла, что вызывает трудности в выплавке малокремнистых чугунов. В настоящее время доменная плавка окускованных ЛГМК освоена на КарМК. Однако невысокое содержание железа в ЛГМК приводит к повышению удельного расхода кокса и снижению производительности доменной печи.

Более перспективным является совместное использование ЛГМК и ЛОМК, приводящее к увеличению содержания железа в шихте доменной печи. Однако с повышением доли ЛОМК в шихте происходит и рост концентрации оксида алюминия в шлаке с 15 до 28-30%. Опыт выплавки передельного чугуна с таким содержанием Al_2O_3 в шлаке в практике металлургии отсутствует. Опытная плавка небольшой партии ЛОМК на АМК в принципе показала возможность выплавки из него чугуна с содержанием кремния 1%, хотя результаты ее еще не могут служить надежным основанием для рекомендаций данной технологии для мощных доменных печей.

В современных условиях создание эффективных способов плавки лисаковских концентратов на всех этапах их освоения требует углубленного изучения физико-химических свойств реальных расплавов.

Однако имеющиеся в литературе данные о вязкости шлаков, в основном, относятся к синтетическим и к тому же противоречивы. С другой стороны, оптимизация состава промышленных шлаков на основании лишь изучения свойств синтетических расплавов с ограниченным числом компонентов, как правило, приводит к несовместимости исследовательских и производственных результатов. Причиной этого являются примесные составляющие (FeO, MnO, S и др.), оказывающие существенное влияние на физические свойства реальных шлаков. Наряду с указанным, малочисленность данных о вязкости и температуре кристаллизации, а также о других физических свойствах шлаковых расплавов с концентрацией $18\text{--}22\% Al_2O_3$ (изучено, в основном, у кислых $CaO/SiO_2 = 0,8\text{--}0,9$ - шлаков), затрудняет возможность выявления рационального шлакового режима при совместном использовании ЛГМК и ЛОМК в доменной шихте. К тому же главное внимание исследователями удалено вязкости шлаков, а поверхностное и межфазное напряжение расплавов, как одно из основных структурно-чувствительных свойств, влияющих на взаимодействие жидких продуктов плавки, не рассматривается.

В этой связи, на наш взгляд, представляет интерес совмещение изучения вязкости шлака и поверхностного напряжения чугуна и шлака, а также межфазного напряжения чугуна на границе со шлаком для разработки способов получения передельного чугуна из бурожелезняко-вых руд.

Изложение позволило обосновать и решить следующие задачи:

1. Изучить реологические свойства шлаков, содержащих 15-30% оксида алюминия, составы которых наиболее приближены к реальным многокомпонентным сплавам;

2. Определить поверхностное и межфазное напряжение расплавов доменной плавки шихты из смесей ЛГМК и ЛОМК, изучить процессы их разделения и массообмена;

3. На основании выполненных исследований разработать способ доменной плавки глиновесом содержащих железных руд.

2. МЕТОДИКА ИССЛЕДОВАНИЙ

Комплекс исследований включал определение вязкости (η), поверхностного напряжения шлаков (σ_2) и поверхностного напряжения чугунов (σ_1), межфазного напряжения (σ_{1-2}) чугуна на границе со шлаком. В ходе измерения величин поверхностного напряжения параллельно установлена плотность (ρ) расплавов.

Вязкость определялась с помощью ротационного вискозиметра ЭВИ-72. Измерения вязкости производились начиная от 1550°C в режиме охлаждения со скоростью $2\text{-}3^{\circ}\text{C}/\text{мин}$.

Для исследований вязкости использовались реальные шлаки доменной плавки ЛГМК в КарМК и лабораторные шлаки, полученные восстановительной плавкой агломератов из ЛОМК. Смешивание реальных шлаков (с 14-15% Al_2O_3) с лабораторными (с 27-35% Al_2O_3) позволило получить широкий интервал вариации основности и содержания оксида алюминия в шлаках, что максимально отражает продукты совместной плавки ЛГМК и ЛОМК в различных этапах освоения последнего.

Поверхностное натяжение чугунов и шлаков определялось при 1450 и 1500°C методом лежащей капли, признанным как наиболее точным и надежным. Установка для изучения поверхностных свойств металлургических расплавов была создана на базе печи Таммана.

Межфазное натяжение рассчитывалось по углу контакта двух фаз, измеренном в подложке из графита с чашечкой для чугуна и кольцевой канавкой для шлака (метод С.И.Попеля). При определении величин поверхностного натяжения для чугуна использовались подложки из карбонитрида бора, для шлака - из графита.

Измерение размеров капель, а также углов контакта между чугуном и шлаком производилось с фотопластиноч на микроскопе УМ-23. Расчет поверхностного натяжения выполнялся по видоизмененному способу Дорсея, а вычисление плотности жидких чугунов и шлаков - по методу Д.В.Хантадзе. Краевой угол смачивания расплава определялся по формуле, предложенной нами.

Ошибка эксперимента на вискозиметре составила $\pm 2\%$, погрешность измерения плотности равна $\pm 1\%$, поверхностного натяжения - $\pm 2\%$ и межфазного натяжения - $\pm 3\%$.

Шлаки для исследований поверхностных свойств сплавлялись из реактивов ч.д.а., чугуны - из железа марки Армко с добавлением ферросплавов. Расплавленный чугун выливался в специальную изложницу для охлаждения с высокой скоростью и получения структуры белого чугуна с целью уменьшения его графитизации. Для экспериментов также использовались промышленные чугуны и шлаки КарМК, ОХМК и завода "Азовсталь".

3. СОСТАВЫ И РЕОЛОГИЧЕСКИЕ СВОЙСТВА ДОМЕННЫХ ШЛАКОВ

Посредством термодинамически-диаграммного анализа диаграммы фазового состава системы $MgO-CaO-Al_2O_3-SiO_2$ (в дальнейшем: $MgO-M$; $CaO-C$; Al_2O_3-A и SiO_2-S) произведена оценка состава и прогнозирование свойств шлаков процесса освоения лисаковских концентратов. Анализ показал, что в системе имеются, в основном, три элементарных тетраэдра $C_2S-C_2AS-C_2MS_2-CS$, $C_2AS-C_2MS_2-CAS_2-MA$, отвечающих составам конечных шлаков доменной плавки глиноземистого железорудного сырья (рис. I). При этом изменение состава шлака по содержанию основных компонентов вызывает переход его из области одной квазисистемы к другой, а это, в свою очередь, обуславливает перестройку структуры расплавов, что учитывалось при исследованиях их физико-химических свойств.

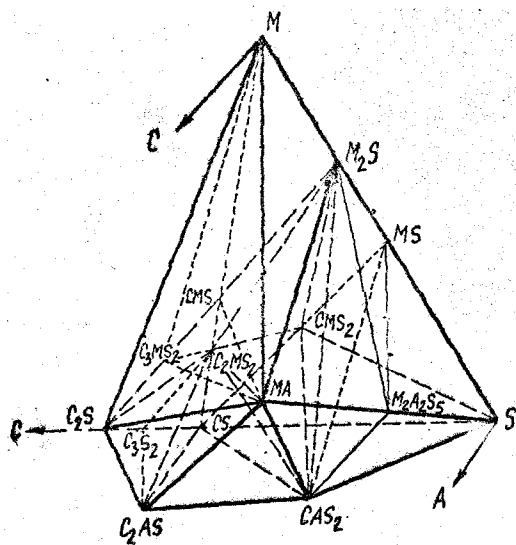


Рис. I Область глиноземистых доменных шлаков диаграммы фазового состава системы $MgO-CaO-Al_2O_3-SiO_2$

чала кристаллизации ($T_{н.кр.}$) с 1520 до 1430°С.

Добавка оксида магния до 7% улучшила физические свойства расплавов. Увеличение основности до 1,65 изменило вязкость с 0,5-0,9 до 0,2-0,6 Па·с (1450-1550°С) и расширило $T_{н.кр.}$ до 1385-1415°С. Лучшие показатели вязкости у шлаков с 7-7,5% MgO при основности

Для оценки возможности переработки лисаковских концентратов по схеме плавки разноосновных материалов составы исследуемых шлаков изменялись по основности (CaO/SiO_2) от 0,5 до 2,0. В шлаках, содержащих 4% MgO , повышение основности с 0,96 до 1,70 уменьшило их вязкость при 1450-1550°С с 0,65-1,5 до 0,25-0,5 Па·с и снизило температуру на-

I,4-I,6. Они имели хороший диапазон жидкостности (0,6-0,8 Па·с при 1400°С), а $T_{n.kr.}$ их оказалась на 85-115°С ниже предполагаемой температуры шлака при выпуске из доменной печи (1500°С). Однако они затвердевали в коротком интервале температур. Рост содержания оксида магния до 10% приводит к дальнейшему улучшению свойств расплавов: шлаки кристаллизуются при 1380-1390°С; вязкость их при 1400°С составляет 0,4-0,5 Па·с.

Отрицательно сказывается на физические свойства шлаков погружение концентрации MgO до 15%. По сравнению с предыдущими сериями они во всем диапазоне основности имели худшие показатели как по вязкости, так и по $T_{n.kr.}$. Вязкость возрастала до I,3-3,0 Па·с (1450-1500°С), а температура кристаллизации - до 1460-15,5°С. Эти шлаки на диаграмме фазового состава системы $M-C-A-S$ располагаются в области шпинельсодержащего тетраэдра $C_2AS-C_2MS_2-CS_2-MA$ (рис. I) и выпадение шпинели в расплаве делает шлак тугоплавким, что ухудшает технологичность данной группы шлаков.

Исследованные шлаки, отвечающие составам конечных шлаков при доменном переделе смеси ЛГМК и ЛОМК до содержания обжигмагнитного концентрата в шихте 10-70%, по основности можно разделить, условно, на четыре группы: I,02-I,03; I,08-I,09; I,11-I,13; I,16-I,18.

$T_{n.kr.}$ шлаков с основностью I,02-I,03 находилась в пределах 1335-1350°С. Увеличение содержания оксида алюминия с 17 до 19% повысило вязкость расплава в гомогенном состоянии (1450-1550°С) до 0,94-0,46 Па·с. Возрастание концентрации оксида магния с 7 до 10% улучшило жидкотекучесть расплавов выше $T_{n.kr.}$ (0,43-0,22 Па·с).

Рост основности шлаков до I,08-I,09 снизил $T_{n.kr.}$ до 1285-1320°С. Температура кристаллизации шлаков с основностью I,11-I,13 соответствовала значениям $T_{n.kr.}$ расплавов с $CaO/Al_2O_3 = I,02-I,03$. Исключение составлял шлак, содержащий 19,4% Al_2O_3 . У него $T_{n.kr.}$ повысилась до 1405°С с одновременным ухудшением вязкости - при 1450°С она оказалась равной 0,68 Па·с. Здесь, уместно отметить, что и у других шлаков с концентрацией 19,3-19,4% Al_2O_3 при различной основности существенно изменились физические свойства, что связано с переходом шлаков из квазисистемы $C_2S-C_2AS-C_2MS_2-CS$ в область тетраэдра $C_2AS-C_2MS_2-CS_2-CS$ (рис. I).

Повышение основности до уровня I,16-I,18 снизило $T_{n.kr.}$ до 1310-1350°С, вязкость расплавов при 1450°С не превышала 0,5 Па·с. При этом изменение содержания оксида алюминия с 16,7 до 22,2% (7-9% MgO) не повлияло на физические свойства шлаков. Увеличение

основности до 1,27 сопровождалось ростом вязкости шлаков в гомогенном состоянии, хотя $T_{n.kr.}$ оставалась на уровне значений предыдущих расплавов (1350°C).

Таким образом, изучение свойств шлаков доменной плавки шихты из смеси ЛГМК и ЛОМК показало, что имеются две области оксидных расплавов, благоприятных как по вязкости, так и по температуре кристаллизации. При содержании оксида алюминия 16–18% основность шлака следует поддерживать на уровне 1,02–1,08 с 8–10% MgO , а при 19–22% Al_2O_3 необходимо увеличить основность шлака до 1,12–1,18, снижая содержание оксида магния до 7–8%.

4. МЕЖФАЗНОЕ ВЗАИМОДЕЙСТВИЕ НА ГРАНИЦЕ ЧУГУН-ШЛАК

Межфазное напряжение является сложным свойством, зависящим от составов контактирующих расплавов и для его оптимизации требуется проведение значительного количества опытов. Указанное предсcreделило применение математического планирования эксперимента.

Эксперименты осуществлялись с использованием симплексно-рететчатого метода для системы чугун–шлак. Факторами выбраны содержание оксида алюминия (X_1) и фторида кальция (X_2) в шлаке, фосфора (X_3) в чугуне. Исходя из приближения составов взаимодействующих фаз к реальным условиям переработки лисаковского сырья и технологической целесообразности содержание компонентов изменялось в следующих пределах, в мас.%: Al_2O_3 – 16 ± 26; CaF_2 – 0 ± 1,6 и P – 0,2 ± 1,8. Для получения достаточно достоверных и полных сведений о параметре оптимизации предпочли модель четвертой степени.

Обработкой результатов экспериментов на мини-ЭВМ "Электроника Д8-28" были получены уравнения, описывающие зависимость межфазного напряжения чугуна на границе со шлаком от вышеуказанных факторов:

при 1500°C

$$Y = 1155X_1 + 945X_2 + 1033X_3 + 76X_1X_2 + 52X_1X_3 + 186,7X_1X_2(X_1-X_2) + \\ 234,7X_1X_3(X_1-X_3) + 16X_2X_3(X_2-X_3) - 368X_1X_2(X_1-X_2)^2 + \\ 37,3X_1X_3(X_1-X_3)^2 - 160X_2X_3(X_2-X_3)^2 + 3616X_1^2X_2X_3 - \\ 2938,7X_1X_2X_3^2 - 1168X_1X_2X_3^2 \quad (I)$$

при 1450°C

$$\begin{aligned}
 Y = & 1076X_1 + 840X_2 + 976X_3 + 80X_1X_2 + 172X_1X_3 + 128X_2X_3 + \\
 & 363X_1X_2(X_1-X_2) + 363X_1X_3(X_1-X_3) + 176X_2X_3(X_2-X_3) - \\
 & 427X_1X_2(X_1-X_2)^2 + 528X_1X_3(X_1-X_3)^2 + 256X_2X_3(X_2-X_3)^2 + \\
 & 2352X_1^2X_2X_3 - 651X_1X_2^2X_3 - 1232X_1X_2X_3^2 \quad (2)
 \end{aligned}$$

Надежность полученных результатов проверялась по итогам контрольных экспериментов, выполненных внутри исследуемой области, оценка адекватности модели, произведенная по критерию Стьюдента, показала возможность практического использования математического описания для выбора оптимальной величины межфазного напряжения между фосфористым чугуном и глиноземистым шлаком.

Анализ полученных выражений (1) и (2) показывает, что увеличение содержания фосфора и оксида алюминия повышает межфазное напряжение, а фторида кальция — уменьшает. При 1500°C у чугуна с 0,2% P межфазное напряжение на границе со шлаками, имеющими 16–18% Al_2O_3 , изменялось в пределах 945–962 $\text{мДж}/\text{м}^2$ (рис. 2). С ростом концентрации фосфора оно повышалось и при 1,52% P достигло величины 1000–1030 $\text{мДж}/\text{м}^2$. При 1450°C показатели σ_{1-2} ниже. Изотермы межфазного напряжения чугуна на границе со шлаками, содержащими 20–22% Al_2O_3 имели экстремумы. Это особенно заметно при 1500°C : значение σ_{1-2} возрастало до $[P] = 1\%$ и затем снижалось ($20\% \text{Al}_2\text{O}_3$). С увеличением содержания оксида алюминия до 22% максимум величины σ_{1-2} достигался уже при 0,68% P . Это объясняется изменением свойств шлаков, вследствие перемены их фазового состава с ростом концентрации оксида алюминия. Следует сказать, что минимум значения σ_{1-2} при 20–22% Al_2O_3 превышал величины межфазного напряжения чугуна на границе со шлаками с 16–18% Al_2O_3 во всем интервале возрастания фосфора в металле.

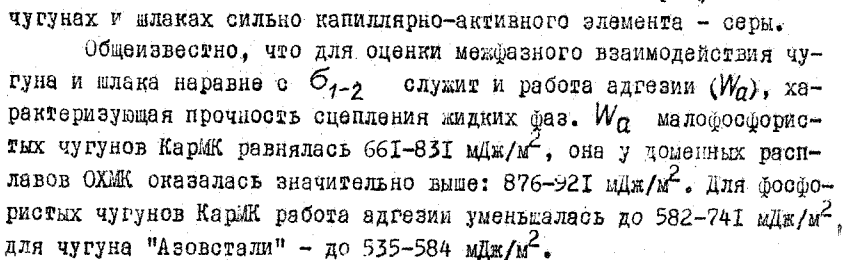
Увеличение количества оксида алюминия с 16% до 22% повысило значение σ_{1-2} с 942 до 1096 $\text{мДж}/\text{м}^2$ при 0,20% $[P]$ (1500°C). Изменение концентрации фосфора в чугуне до 0,5; 0,8 и 1,2% при этих же пределах содержания Al_2O_3 привело к возрастанию межфазного напряжения с 958–996 до 1132–1148 $\text{мДж}/\text{м}^2$. При этом чем больше содержание фосфора в чугуне, тем выше оказалось значение σ_{1-2} .

Добавка 0,5% CaF_2 незначительно снизила межфазное напряжение. Введение фторида кальция до 1% оказало существенное влияние на σ_{1-2} : оно уменьшилось с 1032–1080 до 980–1022 $\text{мДж}/\text{м}^2$ (при

16-20% Al_2O_3). Таким образом, наибольшие величины σ_{1-2} наблюдались при содержании 0,85-1,2% фосфора в чугуне и 18-22% оксида алюминия в шлаке.

Результаты лабораторных исследований σ_{1-2} синтетических расплавов сопоставлены со свойствами промышленных чугунов и шлаков. Межфазное натяжение малоfosфористых чугунов (0,120-0,144% P) КарМК при 1450-1500°C находилось в пределах 757-905 мДж/m². Увеличение содержания фосфора в чугунах КарМК в результате плавки ЛГМ до 0,997-1,142% привело к повышению значений σ_{1-2} до 907-1010 мДж/m². Высокое межфазное натяжение выявилось между шлаками и фосфористым чугуном (1,15% P) завода "Азовсталь" (929-875 мДж/m²). Величина σ_{1-2} расплавов доменного производства ОХМК находилась на уровне малоfosфористых чугунов КарМК. Несколько заниженные значения межфазного натяжения промышленных расплавов по сравнению с синтетическими объясняется присутствием в чугунах и шлаках сильного капиллярно-активного элемента - серы.

Рис. 2 Влияние фосфора на межфазное натяжение системы чугун-шлак (1500°C)



Таким образом, малофосфористый чугун КаРИК и природнолегированный - ОХМК характеризовались высокими значениями адгезии и низкими межфазного напряжения, что указывает на неблагоприятные условия разделения жидких фаз, способствующих потерям чугуна со шлаком.

С увеличением содержания фосфора в чугуне с 0,20 до 1,8% плотность его заметно снижается. Она в исследованном интервале температур (1450-1500°C) и составов ($Si = 0,8\%$, $C = 4-4,5\%$) аппроксимирована линейными уравнениями, коэффициенты которых рассчитаны методом наименьших квадратов:

$$\rho^{1450} = 6,635 - 0,209 [P], \quad (3)$$

$$\rho^{1500} = 6,606 - 0,275 [P], \quad (4)$$

где $[P]$ - содержание фосфора в чугуне, мас.%

Экспериментальные данные показывают, что плотность жидких фосфористых чугунов не изменяется аддитивно, что свидетельствует о межчастичных взаимодействиях между Fe и P .

Поверхностное напряжение чугуна при содержании в нем фосфора 0,25% равно 1408 и 1320 мДж/м², соответственно при 1500 и 1450°C. Первые добавки фосфора оказывают сильное влияние на поверхностное напряжение чугуна: оно с указанных величин уменьшается при 0,5% P на 212-157 мДж/м².

Дальнейшее увеличение концентрации фосфора влияет слабее: при 1% P величина σ_1 падает до 1157-1113 мДж/м², повышение содержания фосфора до 1,8% уменьшает поверхностное напряжение чугуна до значений 1054-994 мДж/м².

По полученным данным поверхностного напряжения чугуна вычислена адсорбция фосфора по уравнению Гиббса. Кривая адсорбции фосфора имеет две экстремальные точки: максимальная составляет $11,4 \cdot 10^{-10}$ моль/см² (при 0,42% P); минимум ее равен $4,74 \cdot 10^{-10}$ моль/см² (при 0,70% P). Как и отклонение изменения плотности от аддитивности, характер адсорбционной кривой указывает на то, что структура поверхностного слоя чугуна претерпевает изменение в зависимости от количества фосфора в металле.

Расчетная площадь, приходящаяся на одну молекулу фосфора в поверхностном слое, при Γ_{max} равна $14,6 \cdot 10^{-16}$ см², а при Γ_{min} - $35,02 \cdot 10^{-16}$ см². При этом, сравнивая результаты вычислений площади сечений адсорбата с размерами молекул его соединений, сделано пред-

положение, что при максимальной адсорбции фосфора структура поверхности слоя состоит из FeP_2 , а при минимальной - из Fe_2P и FeP . Полученные результаты свидетельствуют о высокой катализаторской активности фосфора. Адсорбируясь на поверхностный слой в виде фосфидов железа, он может блокировать реакционную поверхность, препятствуя массопереносу примесей из одной фазы в другую.

В связи с этим изучали межфазный переход кремния из шлака в углеродистый металл в зависимости от концентрации фосфора. Сплавы до опыта содержали 4,0-4,5% С, 0,017-1,13% P, 0,13% Si, основное - железо; шлак - 20% Al_2O_3 при основности 1,0.

Металлы под шлаком выдерживали в течение 3^х- часов в печи Таммана при температуре 1500°C. Результаты экспериментов свидетельствуют, что в условиях постоянства химического состава шлака и температуры опыта, с ростом концентрации фосфора в чугуне с 0,017 до 1,13% переход кремния в металл снижается на 0,2%. В данных условиях адсорбция фосфора является главным фактором, препятствующим переносу кремния из шлака в чугун. Следовательно, присутствие фосфора в шихте доменных печей позволяет снизить переход кремния из шлака в металл, что особенно важно при повышенном содержании в железорудном сырье глиноzemистых соединений.

Общеизвестно, что фосфор и железо, содержащие в доменной шихте, практически полностью восстанавливаются в чугун, поэтому для использования полученных результатов на производство удобно применять отношение железа к фосфору в железорудной шихте, как меру регулирования межфазного натяжения и адсорбции в системе чугун-шлак.

В связи с изложенным предложен новый способ доменной плавки железных руд с глиноzemистой пустой породой, позволяющий получить химически холодный чугун при тугоплавких глиноzemистых шлаках за счет управления физико-химическими свойствами металла и шлака.

Способ осуществляется следующим образом. Загрузка ПАВ-фосфора в доменную печь осуществляется присадкой к железорудной части шихты фосфорсодержащего сырья в виде кускового материала в количестве 0,2-99% от массы сухой железорудной шихты, обеспечивающем отношение железа к фосфору в шихте от 188 до 49,5. Величина присадки определяется из выражения

$$Q = 100 / \left[1 + \frac{R_o \cdot Fe_g (R_w - R_g)}{R_g \cdot Fe_o (R_o - R_w)} \right], \quad (5)$$

где Q - добавляемое количество ПАВ, % от массы сухой шихты;
 R_0, R_g, R_w - отношение железа к фосфору, соответственно, в исходной шихте, в добавке и в шихте с добавкой ПАВ;
 Fe_0, Fe_g - содержание железа в исходной шихте и в добавке.

Данная технология защищена авторским свидетельством СССР.

Результаты лабораторных исследований апробированы в промышленных условиях. В доменной печи КарМК проведено испытание шихт с различным отношением железа к фосфору. Отношение Fe/p изменяли путем проплавки шихты, состоящей из малофосфористого агломерата и фосфористого (из ЛГМК) (табл.). Плавки показали, что изменение

Технические показатели промышленных испытаний

Показатели	Единица измерения	Периоды				
		1	2	3	4	5
Отношение Fe/p	-	182	151	108	100	94
Производительность: $t/m^3 \cdot \text{сут}$						
фактическая		1,500	1,513	1,558	1,572	1,562
приведенная		1,518	1,537	1,567	1,572	1,596
Расход кокса: $\text{кг}/\text{т чугуна}$						
фактический		631	620	618	615	624
приведенный		635	636	612	615	613
Содержание в чугуне: Si %	%	0,93	0,89	0,77	0,72	0,70
p %	%	0,52	0,70	0,81	0,93	0,99

отношения Fe/p в шихте с 182 до 94 создало возможность снижения кремния в чугуне с 0,93 до 0,70%. При этом увеличение производительности печи составляло 5%, снижение расхода кокса - 3,5%.

5. ОПЫТНЫЕ ДОМЕННЫЕ ПЛАВКИ ШИХТ ИЗ ЛИСАКОВСКИХ КОНЦЕНТРАТОВ

Практическая реализация разработанных положений по совместному использованию ЛГМК и ЛОМК осуществлялась на двух крупных доменных печах КарМК в 1981, 1983 и 1984 гг. Доля обогащенного концентрата в железорудной части доменной шихты соответствовала 40%. Отношение железа к фосфору в шихте печей находилось в пределах 95-80. Увеличение содержания железа в агломератах и окатышах из ЛОМК составило по сравнению с сырьем из ЛГМК 0,2-0,6% на каждые 10% обогащенного концентрата в шихте.

В опытных плавках основность шлаков колебалась на уровне 0,90-1,10 при содержании 17-20% оксида алюминия и 7-10% оксида магния. Вязкость их при 1400-1500°C составила 0,3-0,9 Па·с, температура начала кристаллизации - 1280-1320°C, что практически совпадает с полученными значениями лабораторных исследований. Шлаки, обладая хорошей жидкотекучестью, были технологически устойчивыми и при приходе серы с шихтовыми материалами 6-8 кг/т чугуна обеспечивали получение чугуна с содержанием ее 0,009-0,025%. Температура чугуна и шлака при выпусках находилась на уровне нагрева расплавов из ЛРМК (1465-1510°C), что способствовало их отработке без затруднений. Как установлено изучением проб жидких продуктов опытных плавок, благоприятные условия для улучшения отделения чугуна от шлака создаются при основности шлака выше 1,0 - высокое значение межфазного натяжения на границе металл-шлак и повышение жидкотекучести оксидного расплава в гомогенном состоянии приводят к исчезновению эмульсии чугуна в шлаке. При снижении основности до 0,9 возрастание работы адгезии и низкое межфазное натяжение замедляют процесс разделения расплавов и в шлаке остаются корольки чугуна, что подтверждается наличием гранул металла в пробах шлаков опытных плавок.

Автоклавированные окатыши 1981 г. из ЛОМК характеризовались низкой прочностью: содержание фракции 5-0 мм в скраповых окатышах достигало 20%. Это привело к ухудшению газопроницаемости столба шихты и сдерживанию степени форсирования хода доменной печи: при возрастании содержания железа в шихте в опытном периоде на 1% производительность агрегата оставалась на уровне базового. Удельный расход кокса снизился с 600 до 594 кг/т чугуна. Улучшение качества окатышей 1983 г. позволило повысить показатели доменной плавки: производительность возросла с 1,589 до 1,607 т/м³·сут, удельный расход кокса уменьшился на 5 кг/т чугуна. Содержание кремния в чугуне составляло, в среднем, 0,81%.

Ухудшение термопластичных свойств агломерата из ЛОМК 1981 г. привело к нестабильности теплового режима опытной плавки. Ход печи был напряженным, интенсивность плавки несколько снизилась, степень использования восстановительной способности газового потока уменьшилась. Улучшение характеристик зоны образования жидких фаз опытного агломерата 1983 г. устранило нарушения газодинамического режима плавки и значительно повысило технико-экономические показа-

тели работы доменной печи. Производство чугуна увеличилось с 1,597 до 1,656 т/м³•сут, удельный расход кокса снизился с 606 до 583 кг/т чугуна при выплавке передельного чугуна с содержанием кремния 0,8–0,9%, марганца 0,6–0,7% и серы 0,009–0,025%.

Тепловой режим доменной плавки при использовании в шихте обожженных окатышей из ЛОМК был нестабильным. Среднее содержание кремния в чугуне составило 0,94% против ожидаемого 0,8%, хотя в отдельные выпуски концентрация кремния достигала до 0,6% при удовлетворительной работе печи с нормальной отработкой продуктов плавки. Причиной повышенного содержания кремния в чугуне в опытный период является прежде всего, низкое, в отдельных моментах плавки, качество окатышей (содержание фракции 5–0 мм колебалось от 0,8 до 23,2%), понижение форсирования хода печи, связанное с неудовлетворительным состоянием футеровки на шахте, частые простой, что сопровождалось, как правило, вслеском концентрации кремния в чугуне. Производительность печи увеличилась на 1,5%, удельный расход кокса уменьшился на 2,7%.

Таким образом, при использовании в железорудной части шихты лисаковских обжигмагнитных концентратов до 40% существует реальная возможность выплавки передельного чугуна при основности конечного шлака на уровне 1,0 и выше. При снижении основности до 0,9 возрастают потери чугуна со шлаком.

В мощных доменных печах КарМК внедрен способ доменной плавки глиновесом содержащих железных руд, позволивший увеличить объем производства чугуна и улучшить его качество, а также снизить расход топлива за счет интенсификации процесса разделения чугуна и шлака в горне печей при одновременном воздействии на физико-химические свойства шлака и металла путем изменения химического состава шихты с исключением из нее фтористых добавок. Экономический эффект от внедрения в течение 1981–1984 гг. составил 414 тыс. руб.

ОСНОВНЫЕ ВЫВОДЫ

I. Анализом диаграмм фазового состава и состояния системы $MgO-CaO-Al_2O_3-SiO_2$ установлено, что в системе имеются три элементарных тетраэдра: ларнит–геленит–окерманит–волластонит; геленит–окерманит–анортит–волластонит и геленит–окерманит–анортит–шпинель, характеризующих составы конечных шлаков доменной плавки лисаковских концентратов.

2. Экспериментально изучена вязкость натуральных шлаков в зависимости от содержания оксида алюминия и магния, а также от основности. В результате выяснено, что для совместной плавки ЛГМК и ЛОМК (10-70% в шихте) наиболее благоприятны две области составов шлаков, характеризуемые основностью CaO/SiO_2 , равной 1,12-1,18 (содержащих 19-22% Al_2O_3 и 7-8% MgO) и 1,02-1,08 (с 16-18% Al_2O_3 и 8-10% MgO) со следующими параметрами: вязкостью 0,6-0,75 Па·с при 1400°C и температурой начала кристаллизации, равной $1320-1380^{\circ}\text{C}$. Для доменной плавки окускованного ЛОМК предложены составы шлаков с основностью 1,2-1,35 при концентрации 28-30% Al_2O_3 и 7-9% MgO , обладающих вязкостью 0,95-0,25 Па·с при $1400-1550^{\circ}\text{C}$ и температурой начала кристаллизации - $1355-1370^{\circ}\text{C}$.

3. С целью оценки межфазных характеристик расплавов чугуна и шлака, существенно влияющих наряду с другими физическими свойствами жидких фаз на газопроницаемость слоя в зоне образования расплавов в доменной печи, впервые определены межфазное напряжение, поверхностные свойства чугуна и шлаков, образующихся на переходных этапах освоения ЛОМК. В результате разработаны требования для комплексного изменения свойств расплавов, которые в значительной мере определяют получение передельного чугуна с высокими технико-экономическими показателями работы доменной печи.

4. На основе реализации симплексно-решетчатого плана эксперимента для системы чугун-шлак впервые разработана математическая модель зависимости межфазного напряжения чугуна на границе со шлаком при $1450-1500^{\circ}\text{C}$ от изменения состава металлических и оксидных расплавов. Адекватность разработанной модели подтверждена результатами контрольных экспериментов.

5. Исследованиями межфазного взаимодействия промышленных расплавов выявлено, что малофосфористый чугун КарМК и природнолегированный - ОХМК обладают низким межфазным напряжением ($757-905 \text{ мДж/m}^2$) и высокой работой адгезии ($661-921 \text{ мДж/m}^2$), а фосфористые чугуны КарМК и "Азовстали" имеют высокое межфазное напряжение ($875-1010 \text{ мДж/m}^2$) и низкую адгезию ($535-704 \text{ мДж/m}^2$). В результате в первом случае происходит ухудшение условий разделения фаз, приводящее к большим потерям металла со шлаками, а во-втором, - наоборот, осуществляется интенсификация этого процесса за счет роста скорости укрупнения капель металла и их отделения от шлака, а также снижение межфазного перехода кремния из шлака в чугун. На основании этих результатов разработан новый способ доменной плавки глиноземсодерж-

жащих железных руд, который защищен авторским свидетельством СССР. Внедрение его в доменных печах КаражМ в течение 1981-1984 гг. позволило получить экономический эффект 414 тыс.руб.

6. Проведены опытно-промышленные испытания проплавки агломератов и окатышей из обжигмагнитного концентрата ЛГЖ. Использование их до 40% в шихте доменных печей КаражМ показало повышение производительности агрегатов на 1,12-3,56% и снижение удельного расхода кокса на 0,84-2,97%.

Основные положения диссертации опубликованы в работах:

1. Балапанов М.К., Никитин Г.М., Вакулин В.Н. Некоторые вопросы совершенствования шлакового режима доменных печей Карметкомбината при увеличении доли лисаковских концентратов в шихте. - В кн.: Комплексное использование железорудного, полиметаллического и химического сырья Центрального Казахстана: Тез.докл.обл.науч.-техн.конф. - Караганда, 1977, с.67-68.

2. К вопросу о выборе состава конечных шлаков при доменной плавке комплексных руд / Б.Г.Пластинин, Г.М.Никитин, В.Ф.Ухов, М.К.Балапанов, Г.П.Вяткин. - В кн.: Тезисы научных сообщений III Всесоюзной конференции по строению и свойствам металлических и шлаковых расплавов. Часть 3. Исследования шлаковых расплавов. - Свердловск, 1978, с.91-93.

3. Балапанов М.К., Пластинин Б.Г., Никитин Г.М. Физические свойства шлаков переходного режима доменной плавки лисаковского сырья. - В кн.: Проблемы обогащения и комплексной переработки фосфористых лисаковских руд: Тез.докл. регионального науч.-техн.совещания. Темиртау, 1979, с.79-82.

4. Пластинин Б.Г., Никитин Г.М., Балапанов М.К. Реологические свойства магнезиальных шлаков. - Там же, с.82-85.

5. Влияние фосфора на поверхностные свойства расплавов на основе железа / Б.Г.Пластинин, Г.М.Никитин, М.К.Балапанов, Н.В.Чайникова, Г.П.Вяткин. - В кн.: Физико-химические исследования фосфатов: Тез.докл. У Всесоюз.конф. Ленинград, 1981, с.308-309.

6. А.с. № 854987 (СССР). Способ доменной плавки / КМи АИ КазССР; Авт.изобрет. Пластинин Б.Г., Никитин Г.М., Ухов В.Ф., Вяткин Г.П., Балапанов М.К., Емущинцев В.В., Миникес Э.Э. - Заявл. 07.05.79, № 2763132/02; Опубл. в Б.И., 1981, № 30. МКИ C21B 5/02 УДК 669.162.142.

7. А.с. № 962739 (СССР). Лабораторная печь для определения

- качества мелеторудных материалов / ХМИ АН КазССР; Авт.изобрет. Никитин Г.М., Пластиин Б.Г., Мирко В.А., Емущинцев В.В., Балапанов М.К., Цымбал Г.И., Просвицов С.Н., Ахметов К.М. - Заявл. 26.02.81, № 3289706/22-02; Опубл. в Б.И., 1982, № 36, МКИ F 27 B17/02 УДК 669.1:622.785.5.
8. Температурный уровень жидких продуктов доменной плавки безобжиговых окатышей ЛГСК /Б.Г.Пластиин, М.К.Балапанов, Г.М.Никитин, В.Н.Потанин, И.С.Сабитов, Б.В.Дунаев.- В кн.: Комплексное использование руд Лисаковского месторождения: Тез.докл. II региональной конф. Темиртау, 1982, с.88-90.
9. Пластиин Б.Г., Никитин Г.М., Балапанов М.К. Исследование физико-химических свойств металлургических расплавов при доменной плавке лисаковского сырья.- В кн.: Теория и практика современного доменного производства: Тез.докл. Всесоюзн.науч.-техн.конф. Днепропетровск, 1983, с.40-42.
10. Поверхностное натяжение фосфористых чугунов и их адгезия к шлакам /М.К.Балапанов, Б.Г.Пластиин, Г.М.Никитин, Н.В.Чайникова, Г.Л.Вяткин, Б.М.Золотаревский.- В кн.: Тезисы научных сообщений V Всесоюзной конференции по строению и свойствам металлических и шлаковых расплавов. Свердловск, 1983, с.321-323.
11. Балапанов М.К. О возможности снижения энергоемкости доменной плавки лисаковских бурожелезняковых руд.- Караганда, 1983, - 8 с. Деп. в ВИНТИ 16 февраля 1984, № 933-84.
12. Балапанов М.К., Никитин Г.М. К вопросу разработки оптимальных условий доменной плавки лисаковского сырья.-Караганда, 1984, - 14 с. Деп. в ВИНТИ 29 января 1985, № 842-85.
13. Балапанов М.К., Байсанов С.О. Особенности диаграмм состояния и фазового состава системы $MgO-CaO-Al_2O_3-SiO_2$ и моделирование свойств конечных шлаков доменной плавки с помощью этих диаграмм.-Караганда, 1985,- 40 с. Деп. в ВИНТИ 17 мая 1985, № 3372-85.
14. Балапанов М.К., Никитин Г.М., Вяткин Г.П. Влияние структурно-чувствительных свойств чугуна и шлака на полноту их разделения.-Караганда, 1985,- 7 с. Деп. в ВИНТИ 17 мая 1985, № 3373-85.
15. Балапанов М.К., Никитин Г.М., Вяткин Г.П. Адсорбция и массообмен на границе раздела шлак-чугун.-Караганда, 1985, - 12 с. Деп. в ВИНТИ 5 июня 1985, № 4878-85.

Чубай